

**ИЗМЕРЕНИЕ ПАРЦИАЛЬНЫХ ПЛОТНОСТЕЙ
ДВУХКОМПОНЕНТНОГО ЛАМИНАРНОГО ГАЗОВОГО ПОТОКА
МЕТОДОМ РЭЛЕЕВСКОГО РАССЕЯНИЯ**

O. B. Карпов, Ю. Ю. Кудряшов, Г. Д. Петров

(Москва)

Необходимость определения парциальных плотностей многокомпонентного газового потока возникает при исследовании, например, процессов диффузии газов, обтекания препятствий, кинетики реагирующих сред и т. д.

В настоящей работе показана возможность использования для изучения ламинарных потоков метода рэлеевского рассеяния, обладающего высокими пространственным (порядка нескольких длин волн зондирующего излучения) и временным (порядка времени релаксации молекул рассеивающих газов) разрешениями.

В работе измерялись локальные значения парциальных плотностей (концентраций) углекислого газа и аргона в затопленной струе, свободно вытекающей в атмосферу.

Принципиальная схема измерительной установки приведена на рис. 1, *a*, где 1 — импульсный рубиновый лазер ($\lambda = 0,69$ мкм), 2 — фокусирующие линзы, 3 — зеркало, 4 — исследуемая струя, 5 — интерференционный светофильтр, 6 — фотоумножитель типа ФЭУ-64, 7 — блок регистрации. Поток течет из-за плоскости рисунка на зрителя.

На рис. 1, *b* приведена схема образования затопленной струи CO_2 в потоке Ar. Ламинарный поток Ar вытекал из сопла 1 с полукубическими образующими, а CO_2 попадал в струю из малого внутреннего сопла 2. Все потоки горизонтальны, скорости их порядка 2—3 см/с. Ламинарность потоков проверялась их «подкраской» табачным дымом. Запишем очевидное соотношение

$$(1) \quad I_p - I_{\pi} = kI_0(p_1\sigma_1 + p_2\sigma_2).$$

Здесь I_p , I_{π} , I_0 — интенсивность зарегистрированного, паразитного и падающего излучения; k — коэффициент пропорциональности, легко находимый из уравнения состояния и числа Лошмидта; p_i , σ_i — парциальное давление и сечение рассеяния частиц i -го компонента исследуемой смеси.

В силу малости диссипативных потерь для каждой точки двухкомпонентной затопленной струи имеем

$$(2) \quad p_1 + p_2 = p_0$$

(p_0 — атмосферное давление). Для однокомпонентной струи соответственно

$$(3) \quad I'_p - I_{\pi} = kp_0\sigma_1 I_0.$$

Решение системы (1)–(3) есть

$$(4) \quad p_1 = \frac{p_0}{\sigma_1 - \sigma_2} \left\{ \frac{(I_p - I_{\pi})\sigma_1}{I'_p - I_{\pi}} - \sigma_2 \right\};$$

$$(5) \quad p_2 = p_0 - p_1 = p_0 \left\{ 1 - \frac{1}{\sigma_1 - \sigma_2} \left[\frac{I_p - I_{\pi}}{I'_p - I_{\pi}} - \sigma_2 \right] \right\}.$$

Значение I'_p определялось из величины сигнала, полученного при рассеянии на затопленной струе CO_2 . Величина экспериментально наблюдаемых сечений рассеяния σ_1 , σ_2 зависит от чистоты используемых газов, а для некоторых газов — от длительности и плотности энергии зондирующего лазерного излучения. Поэтому с помощью вакуумируемой камеры, заполняющейся исследуемыми газами при различных (вплоть до атмосферных) давлениях, предварительно проводилось определение относительных значений сечений рассеяния газов. Сечение Ar принималось равным 1.

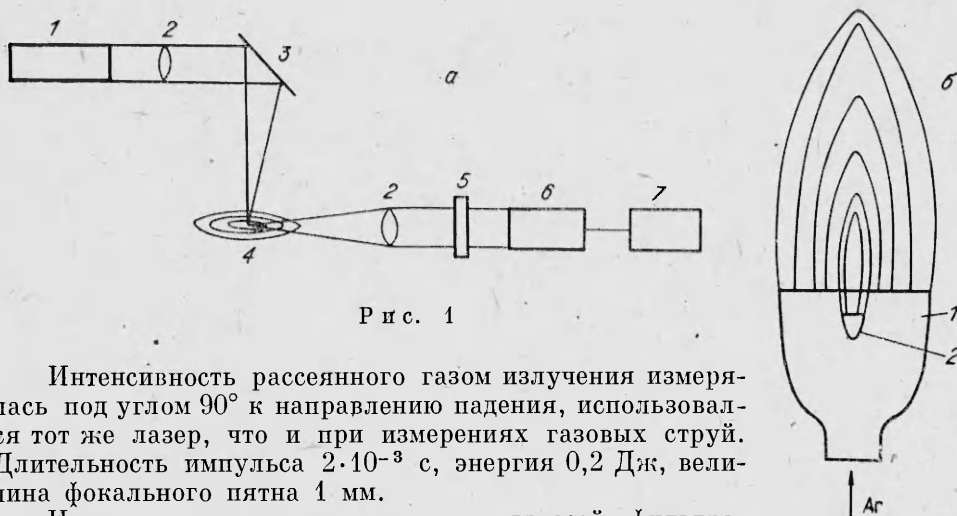


Рис. 1

Интенсивность рассеянного газом излучения измерялась под углом 90° к направлению падения, использовалась тот же лазер, что и при измерениях газовых струй. Длительность импульса $2 \cdot 10^{-3}$ с, энергия 0,2 Дж, величина фокального пятна 1 мм.

Исследуемые газы очищались от взвесей фильтрами Петрянова и отстаивались в ресивере в течение 40—50 мин. Сечения измерялись в диапазоне давлений 1—10 Па с шагом 1 Па.

Величина измеряемого сигнала рассеяния пропорциональна давлению $I_p - I_n = k\sigma_i p_i I_0$, что указывало на малость систематических погрешностей, обусловленных наличием взвешенных частиц и нелинейным изменением сечения рассеяния газов.

Газ	Сечение рассеяния		Газ	Сечение рассеяния	
	Теория	Эксперимент		Теория	Эксперимент
N ₂	1,13	1,13±0,017	CO ₂	2,53	2,68±0,15
He	0,015	0,021±0,03	Воздух	1,063	1,47

В таблице приведены относительные сечения рэлеевского рассеяния некоторых газов, определенные как теоретически [1], так и экспериментально. Разница между экспериментальными и теоретическими значениями, особенно заметная для He и воздуха, возможно, связана с наличием неконтролируемых примесей. Значения, определенные для N₂ и CO₂, отличаются не более чем на 5%.

Полученное экспериментальное значение относительного сечения для CO₂ умножалось на сечение Ar [2], и, таким образом, определялось абсолютное сечение рассеяния CO₂.

Величина сечений рассеяния Ar и CO₂, а также экспериментально найденные значения I_p , I'_p подставлялись в (4), (5). Величина I_p для затопленных в атмосфере струй пренебрежимо мала, что устанавливалось по близости значений σ_i , измеренных с помощью вакуумируемой камеры и однокомпонентной струи CO₂ при

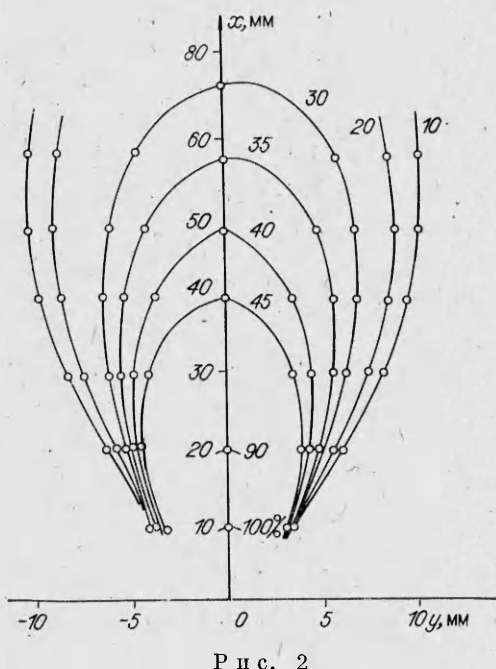


Рис. 2

атмосферном давлении. Форсунка перемещалась в горизонтальной плоскости в двух взаимно перпендикулярных направлениях, что позволяло проводить сканирование струи. Интенсивность рассеянного излучения измерялась под углом 90° к падающему.

На рис. 2 приведено найденное описанным выше способом распределение парциальных концентраций CO_2 в затопленной двухкомпонентной газовой струе. Срез сопла совпадает с плоскостью $x = 10$ мм, измерения проводились в центральной плоскости струи.

На координатной плоскости кружками отмечены точки измерения парциальных концентраций газов в струе, параметром кривых (изобар) является парциальное давление CO_2 в процентах к атмосферному.

ЛИТЕРАТУРА

1. Вукс М. Ф. Рассеяние света в газах и жидкостях.—Л.: Наука, 1977.
2. George T. V., Goldstein L. et al. Molecular scattering of ruby laser light.—Phys. rev. Second ser., 1965, v. 137, N 2A.

Поступила 2/1 1986 г.

УДК 532.574.8

ИССЛЕДОВАНИЕ ЗАКОНОМЕРНОСТЕЙ ОКРАШИВАНИЯ ФОТОХРОМНЫХ РАСТВОРОВ, ИСПОЛЬЗУЕМЫХ В ЭКСПЕРИМЕНТАЛЬНОЙ ГИДРОДИНАМИКЕ

B. A. Альварес-Суарес, A. D. Полянин,
Ю. С. Рязанцев
(Москва)

Известно, что введение малых количеств растворимых фотохромных соединений в поток жидкости позволяет с помощью направленного излучения определенной длины волны получать окрашенные треки в растворе. Регистрация положений трека в последовательные моменты времени дает возможность изучать структуру потока и обтекание тел различной формы [1—6].

Очень важно при использовании метода фотохромной визуализации потоков знать оптические характеристики треков в растворе, которые зависят от типа фотохромного соединения, его концентрации в жидкости, длины волны и интенсивности активирующего излучения и других параметров.

В данной работе исследованы фотохромные характеристики водного раствора спиропирана 11. Определена длина окрашенного трека в зависимости от энергии активирующего лазерного излучения и концентрации фотохромного вещества в растворителе. Установлены пределы изменения концентрации фотохромного вещества и других параметров, необходимые для получения надежно регистрируемой окрашенной трассы.

1. Экспериментальная установка. Фотохромные вещества (ФХВ) могут иметь различное химическое строение молекул и проявлять способность изменять свою окраску под действием лазерного излучения определенной длины волны в различных типах растворителей, таких как вода, спирт, ацетон, бензол и др. [7, 8]. В данной работе исследовались свойства водного раствора (одного из наиболее перспективных фотохромных соединений) спиропирана, окраска которого в растворе изменялась при воздействии импульсного излучения с длиной волны $\lambda = 347,4$ нм.

При поглощении излучения молекулы первоначально бесцветной (исходной) формы A спиропирана переходят в возбужденное состояние A_* , а затем через некоторые промежуточные состояния — в окрашенную (красную) форму B , из которой спонтанно либо при нагревании, либо при поглощении излучения с той же длиной волны молекулы B могут вернуться в исходное состояние A или перейти в некоторый нефотохромный продукт. Накопление окрашенной формы B приводит к образованию окрашенного трека в жидкости. Время его существования после прекращения облучения 0,1—0,5 ч [9].